

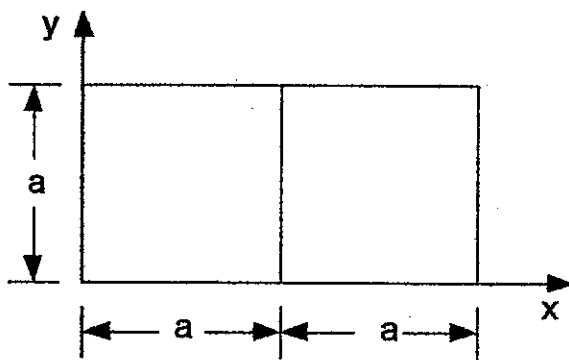
## บทที่ 4

### ผลการทดลอง และ ผลการวิเคราะห์

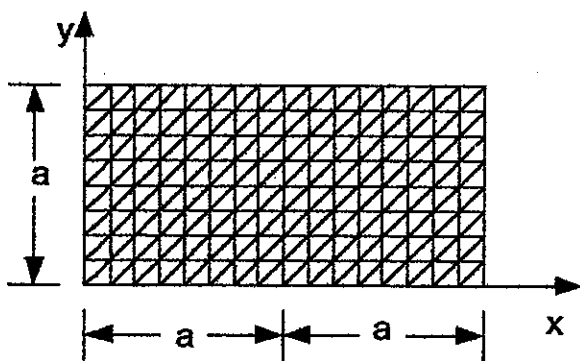
การวิเคราะห์ท่อนำคลื่นของวิธีไฟไนต์อีลีเมนต์โดยใช้สนามแม่เหล็ก 3 องค์ประกอบที่กล่าวมาข้างต้นนั้น

#### 4.1 ท่อนำคลื่นที่บรรจุด้วยไดอิเล็กตริก

พิจารณาท่อนำคลื่นที่บรรจุด้วยไดอิเล็กตริกที่มีขนาดเป็น  $2a \times a$  ล้อมรอบด้วยตัวนำไฟฟ้าสมบูรณ์แบบและครึ่งหนึ่งของท่อนำคลื่นที่บรรจุด้วยไดอิเล็กตริกที่มีสภาพยอมสัมพัทธ์  $\epsilon_r$  และความขบขี้มได้สัมพัทธ์  $\mu_r$  เท่ากับ 2.25 และ 1.0 ตามลำดับดังแสดงในรูป 4.1



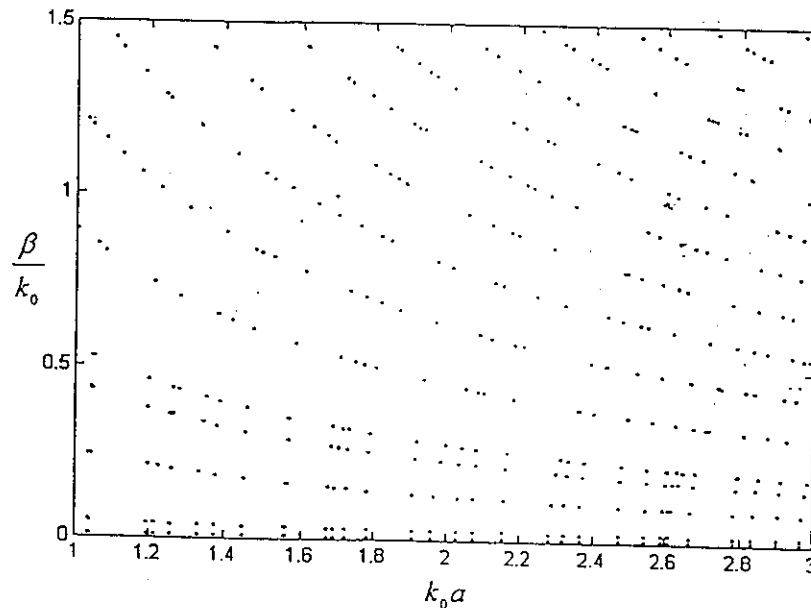
รูป 4.1 ภาคตัดขวางของท่อนำคลื่นบรรจุด้วยไดอิเล็กตริก



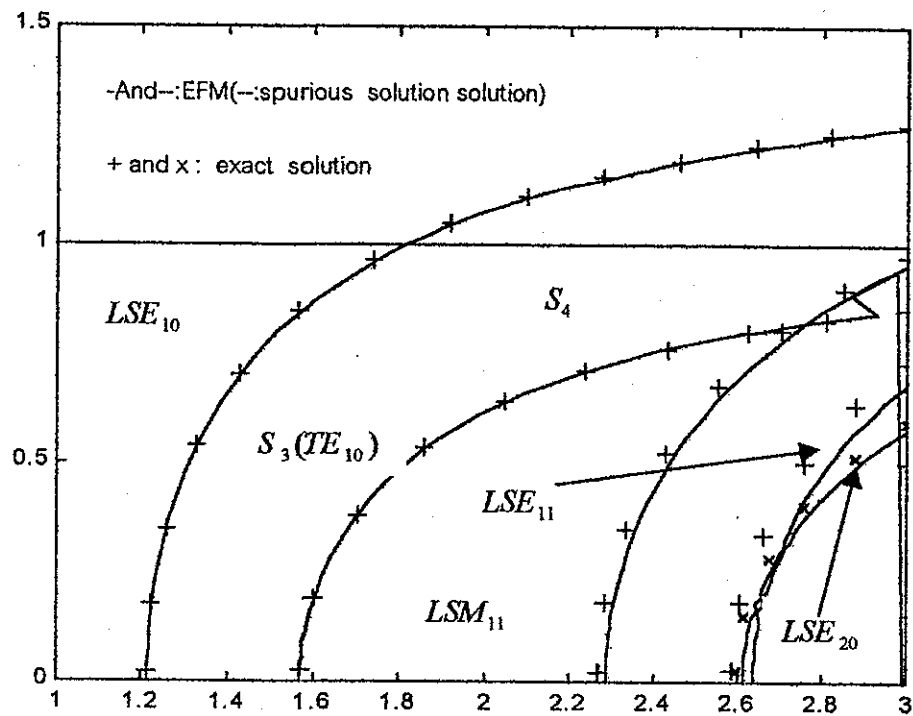
รูป 4.2 การแบ่งอีลีเมนต์บนภาคตัดขวางของท่อนำคลื่น

บรรจุด้วยไดอิเล็กตริกออกเป็น 256 อีลีเมนต์ 153 โหนด

แบ่งภาคตัดขวางของท่อนำคลื่นออกเป็นสามเหลี่ยมตามหลักของวิธีไฟไนต์อีลีเมนต์ แสดงในรูป 4.2 โดยมีจำนวนอีลีเมนต์เท่า 256 และมีจำนวนโนดเท่ากับ 153 รูป 4.3 แสดงกราฟดิสเพอร์ชันที่ได้จากวิธีไฟไนต์อีลีเมนต์โดยปราศจากพจน์พื้นนอลดี ( $p=0$ ) พบว่าเกิดผลเฉลยปลอมเพิ่มขึ้นทำให้ไม่สามารถแยกแยะกับผลเฉลยที่ถูกต้องได้ รูป 4.4 แสดงกราฟดิสเพอร์ชันที่ใช้สัมประสิทธิ์พื้นนอลดีเท่ากับ 1 ( $p=1$ ) เส้นทึบและเส้นประแสดงผลที่ได้จากการคำนวณโดยใช้วิธีไฟไนต์อีลีเมนต์ สัญลักษณ์  $+$  และ  $\times$  คือผลเฉลยแม่นยำที่ได้จากวิธีเชิงวิเคราะห์ (Balanis, 1989)



รูป 4.3 กราฟดิสเพอร์ชันที่ได้จากวิธีไฟไนต์อีลีเมนต์ที่ใช้สนามแม่เหล็ก 3 องค์ประกอบของท่อนำคลื่นบรรจุด้วยไดอิเล็กตริก เมื่อปราศจากพจน์พื้นนอลดี ( $p=0$ )



รูป 4.4 กราฟลักษณะที่ได้อาจได้จากวิธีไฟในดออีลีเมนต์ที่ใช้สามแม่เหล็ก 3 องค์ประกอบของท่อนำคลื่นบรรจุด้วยไดอิเล็กทริกเมื่อ  $p=1$  เทียบกับผลเฉลยแม่นยำตรงที่ได้จากวิธีเชิงวิเคราะห์

จากรูป 4.4 พบว่าโหมดฐาน  $LSE_{10}$  สอดคล้องกับผลเฉลยแม่นยำตรงที่ได้จากวิธีเชิงวิเคราะห์ ส่วนโหมด  $LSM_{11}$ ,  $LSE_{11}$  และ  $LSE_{20}$  ต่างจากผลเฉลยแม่นยำตรงไม่มากนัก อย่างไรก็ตามโหมดเหล่านี้จะมีค่าสอดคล้องกับผลเฉลยแม่นยำตรงมากขึ้นเมื่อเพิ่มจำนวนอีลีเมนต์ให้สูงขึ้น

จากรูป 4.4 นอกจากโหมดที่ถูกต้องที่วิเคราะห์ได้แล้ว พบว่ามีผลเฉลยปลอมเทียมซึ่งแสดงเป็นเส้นประออกมาด้วยผลเฉลยปลอมเทียมดังกล่าวนี้คือผลเฉลยปลอมเทียม  $S_3$  และ  $S_4$  ผลเฉลยปลอมเทียม  $S_3$  สอดคล้องกับสมการ (2.19) และสมมูลกับโหมด  $TE_{10}$  ของท่อนำคลื่นกวางที่มีภาคตัดขวางเท่ากัน ซึ่งโหมด  $TE_{10}$  มีความถี่ตัดเป็น (Balanis, 1989)

$$k_0 a = p \frac{\pi}{2} \quad (4.1a)$$

$$= (1) \frac{\pi}{2} \approx 1.571 \quad (4.1b)$$

ผลเฉลยปโลมเทียม  $S_3$  นี้จะปรากฏในบริเวณ  $\beta/k_0 < 1$  เท่านั้น

นอกจากผลเฉลยปโลมเทียม  $S_3$  ที่ Koshiba และคณะได้กล่าวถึงแล้ว ผู้ทำโครงการงานยังตรวจพบผลเฉลยชนิดใหม่ที่เพิ่มขึ้นมาด้วย โดยผู้ทำโครงการงานเรียกผลเฉลยปโลมเทียมชนิดใหม่นี้ว่า ผลปโลมเทียม  $S_4$  ผู้ทำโครงการงานได้ทำการตรวจสอบคุณลักษณะที่สำคัญของผลเฉลยปโลมเทียม  $S_4$  เปรียบเทียบกับโมเดลฐาน ( $LSE_{10}$ ) ที่ตำแหน่ง  $x=1.125a$ ,  $y=0.375a$  ได้แสดงในตาราง 4.1

จากข้อมูลที่ได้ในตาราง 4.1 ผลเฉลยปโลมเทียม  $S_4$  ที่เกิดขึ้นสามารถอธิบายได้ตามขั้นตอนและดังสมการต่อไปนี้

เมื่อพิจารณาจุดค่าสุดของสมการ (2.17) จะได้สมการต่อไปนี้

$$\begin{aligned} & \iint_{\Omega} \delta H^* \cdot \left[ \nabla \times (\epsilon_r \nabla \times H) - p^2 \nabla (\nabla \cdot \mu_r H) - k_0^2 \mu_r H \right] d\Omega \\ & - \int_{\Gamma} \delta H^* \cdot \left[ n \times (\epsilon_r \nabla \times H) - p^2 (\nabla \cdot \mu_r H) n \right] d\Gamma = 0 \end{aligned} \quad (4.2)$$

โดยที่  $n$  คือเวกเตอร์หนึ่งหน่วยในทิศทางตั้งฉากกับผนังท่อนำคลื่น

สมการออยเลอร์ (Euler equation) ของสมการ (4.2) คือ

$$\nabla \times (\epsilon_r \nabla \times H) - p^2 \nabla (\nabla \cdot \mu_r H) - k_0^2 \mu_r H = 0 \quad (4.3)$$

เนื่องจาก  $\nabla \times H$  ของผลเฉลยปโลมเทียม  $S_4$  มีค่าน้อยมากเมื่อเทียบกับที่ได้จากโมเดลฐาน ( $LSE_{10}$ ) สมการ 4.3 จึงเขียนได้เป็น

$$p^2 \nabla (\nabla \cdot \mu_r H) + k_0^2 \mu_r H = 0 \quad (4.4)$$

ผลเฉลย	H	$\nabla \times H$	$\nabla \cdot \mu_0 H$	$\nabla_t \cdot \mu_0 H$ $\nabla_t = \frac{\partial}{\partial x} + \frac{\partial}{\partial y}$	$\nabla_t H_z$
โหมด $LSE_{10}$	$-0.4531a_x$ $+1.1306 \times 10^{-4} a_z$ $-j0.3731a_z$	$j(0.0015a_x$ $+0.8990a_y$ $-j0.0016a_z)$	$0.0278\mu_0$	$0.4009\omega_0$	$j(-0.4459a_x$ $+0.0014a_y)$
ผลปดอม เทียม $S_4$	$-2.1714 \times 10^{-16} a_x$ $-1.4385 \times 10^{-14} a_y$ $+1.0000a_z$	$j10^{-14}$ $(1.4925a_x$ $-2.7316a_y$ $+j4.1637a_z)$	$1.0000\mu_0$	$10^{-15}$ $5.4522\mu_0$	$j10^{-14}$ $(2.7534a_x$ $+2.9310a_y)$

ตาราง 4.1 คุณสมบัติของผลเฉลยปดอมเทียม  $S_4$  และโหมดมูลฐาน ( $LSE_{10}$ ) ที่คำนวณได้จากวิธีไฟไนต์อีลิเมนต์ที่  $\beta a = 1.0$  ตำแหน่ง  $x = 1.125a, y = 0.375a$  ของท่อนำคลื่นบรรจุด้วยไดอิเล็กตริก เมื่อทำการแบ่งอีลิเมนต์ดังแสดงในรูป 4.2 โดยที่สัมประสิทธิ์พื้นอดีเท่ากับ 1 (กำหนดให้ขนาดสูงสุดของสนามแม่เหล็กที่โนดบนภาคตัดขวางของท่อนำคลื่นมีค่าเท่ากับ 1)

ตัวดำเนินการเดล (del operator) สามารถเขียนให้อยู่ในรูปองค์ประกอบตามขวางและองค์ประกอบในแนวแกน z ได้ดังนี้

$$\nabla = \nabla_t - j\beta a_z \quad (4.5)$$

เมื่อใช้ความสัมพันธ์ในสมการ (4.5) สมการ (4.4) สามารถเขียนได้เป็น

$$p^2 \nabla (\nabla_t \cdot \mu_r H) - p^2 \nabla (j\beta \mu_r H_z) + k_0^2 \mu_r H = 0 \quad (4.6)$$

จากตาราง 4.1 ค่าของ  $H_x, H_y$  และ  $\nabla_r \cdot \mu_0 H$  ของผลเฉลยปโลมเทียม  $S_4$  มีค่าน้อยมากเทียบกับที่ได้จากโมเดลฐาน สมการ (4.6) จึงเขียนได้ดังนี้

$$-p^2(j\beta\mu_r)(\nabla_r H_z - j\beta H_z a_z) + k_0^2 \mu_r H_z a_z = 0 \quad (4.7)$$

จากตาราง 4.1 ค่าของ  $\nabla_r H_z$  ของผลเฉลยปโลมเทียม  $S_4$  มีค่าน้อยมากเทียบกับที่ได้จากโมเดลฐาน สมการ (4.7) จึงเขียนได้เป็น

$$\left[\left(\frac{\beta}{k_0}\right)^2 \left(\frac{1}{p}\right)^2\right] \mu_r H_z = 0 \quad (4.8)$$

ผลเฉลยของสมการ (4.8) คือ

$$\frac{\beta}{k_0} = \pm \frac{1}{p} \quad (4.9)$$

เมื่อค่า  $\beta$  ที่เป็นบวกหมายถึงการแพร่กระจายในทิศ  $+z$  และค่า  $\beta$  ที่เป็นลบหมายถึงการแพร่กระจายในทิศ  $-z$  สำหรับในกรณีตัวอย่างปัญหานี้สัมประสิทธิ์ฟีนอลดีถูกกำหนดให้มีค่าเท่ากับ 1 เพราะฉะนั้นเมื่อพิจารณาเฉพาะการแพร่กระจายในทิศ  $+z$  ผลเฉลยปโลมเทียม  $S_4$  จะปรากฏที่  $\beta/k_0 = 1$  ซึ่งสอดคล้องกับผลการคำนวณในกราฟดิสเพอร์ชันรูป 4.4

จากที่กล่าวมาพบว่าผลเฉลยปโลมเทียม  $S_3$  เกิดขึ้นในช่วง  $\beta/k_0 < 1/p$  และผลเฉลยปโลมเทียม  $S_4$  เกิดขึ้นที่  $\beta/k_0 = 1/p$  เพราะฉะนั้นจึงสรุปได้ว่าผลเฉลยปโลมเทียมทั้งหมดปรากฏในบริเวณสมการ (4.10) เท่านั้น

$$\frac{\beta}{k_0} \leq \frac{1}{p} \quad (4.10)$$

บริเวณที่เกิดผลเฉลยปโลมเทียม  $S_3$  และ  $S_4$  สามารถกำหนดได้จากสัมประสิทธิ์ฟีนอลดี กล่าวคือบริเวณที่เกิดผลเฉลยปโลมเทียม  $S_3$  จะแคบลงเมื่อสัมประสิทธิ์ฟีนอลดีมีค่าสูงขึ้น แต่การเพิ่มสัมประสิทธิ์ฟีนอลดีให้สูงขึ้น ทำให้ความแม่นยำของผลเฉลยที่ได้ลดลงไปด้วย ตัวอย่างของค่า  $\beta/k_0$  และขนาดความผิดพลาดที่  $k_0 a = 3.0$  จากโมเดลฐาน  $LSE_{10}, LSM_{11}, LSE_{11}$

๑๘  
20.7  
.F56  
๖55๙๗  
๒543

- 9 พ.ศ. 2544

4440102



และ  $LSE_{20}$  ที่คำนวณจากวิธีไฟไนต์อีลิเมนต์ เมื่อทำการแบ่งอีลิเมนต์ดังแสดงในรูป 4.2 โดยมีค่าสัมประสิทธิ์ที่นอลดีเท่ากับ 1 และ  $1/0.75$  ตามลำดับ แสดงในตาราง 4.2

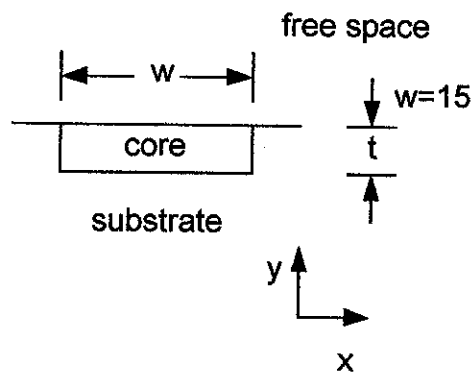
โมด	ผลเฉลยแม่นยำตรง ของ $\beta/k_0$ ที่ $k_0 a = 3.0$	$\beta/k_0$ ที่ $k_0 a = 3.0$ จากวิธีไฟไนต์อีลิเมนต์		ขนาดความผิดพลาด ของ $\beta/k_0$ ที่ $k_0 a = 3.0$ จากวิธีไฟไนต์อีลิเมนต์	
		$p=1$	$p=1/0.75$	$p=1$	$p=1/0.75$
$LSE_{10}$	1.275757	1.27243	1.270253	0.260%	0.431%
$LSM_{11}$	0.971538	0.95392	0.946630	1.813%	2.564%
$LSE_{11}$	0.728649	0.68084	0.662076	6.561%	9.137%
$LSM_{20}$	0.593897	0.57572	0.571497	3.060%	3.772%

ตาราง 4.2 ตัวอย่างของค่า  $\beta/k_0$  ที่  $k_0 a = 3.0$  ที่คำนวณได้จากวิธีไฟไนต์อีลิเมนต์ และวิธีเชิงวิเคราะห์รวมขนาดความผิดพลาด เมื่อทำการแบ่งอีลิเมนต์ดังแสดงในรูป 2.2 โดยที่สัมประสิทธิ์ที่นอลดีเท่ากับ 1 และ  $1/0.75$

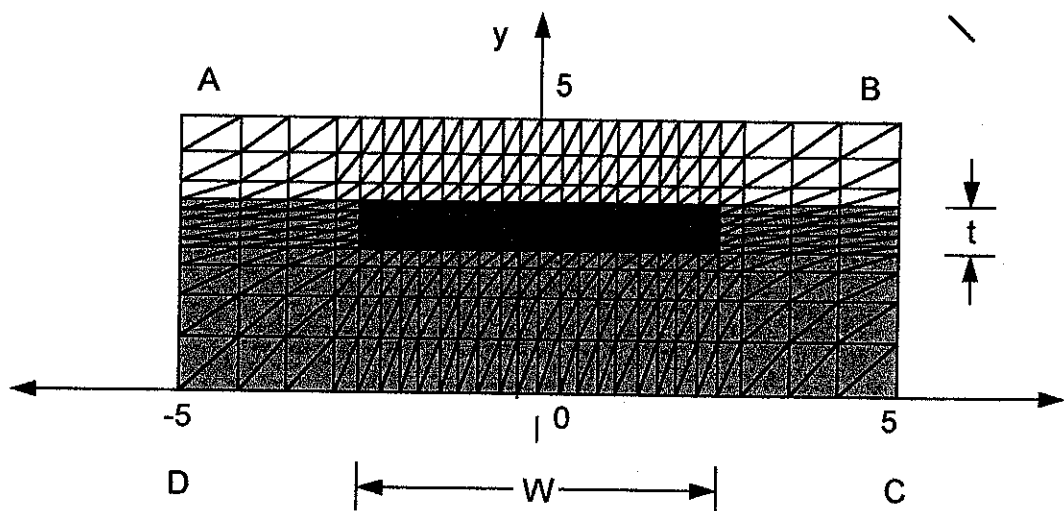
จากผลการวิเคราะห์ที่ได้แสดงในตารางที่ 4.2 แสดงการเปรียบเทียบค่า  $\beta/k_0$  ที่  $k_0 a = 3.0$  ที่คำนวณได้จากวิธีไฟไนต์อีลิเมนต์และวิธีเชิงวิเคราะห์รวมถึงขนาดความผิดพลาด โดยที่ พิจารณาค่าดังกล่าวที่ โมดมูลฐาน 4 โมด และได้ผลดังตารางที่ 4.2 แสดงให้เห็นว่า ค่าความผิดพลาดอยู่ในช่วงที่ยอมรับได้ดังนั้นจึงสามารถสรุปได้ว่าวิธีไฟไนต์อีลิเมนต์ที่ใช้สนามแม่เหล็ก 3 องค์ประกอบ ที่เสนอโดย Koshiba และคณะ สามารถวิเคราะห์ที่ค่อนข้างแบบไอโซทรอปิกไม่เอกพันธ์ได้ แต่ต้องมีการควบคุมการปรากฏของผลเฉลยปลอมเทียบกับพจน์ที่นอลดี

### 4.2 ท่อนำแสงแบบฝังในฉัษสเตรท

พิจารณาท่อนำแสงแบบฝังในฉัษสเตรท ที่ประกอบด้วยแกน (core) ฝังในฉัษสเตรท (substrate) ซึ่งเป็นส่วนรองรับแกนอยู่ด้านล่างและด้านบนของแกนเป็นอากาศว่าง ดังแสดงในรูป 4.5 การศึกษาในส่วนนี้จะแบ่งเป็น 2 กรณีคือ กรณีที่ท่อนำแสงเป็นแอนไอโซทรอปิกแนวทแยง และกรณีที่ท่อนำแสงเป็นแอนไอโซทรอปิกตามขวาง ซึ่งแต่ละกรณีมีรายละเอียดดังนี้

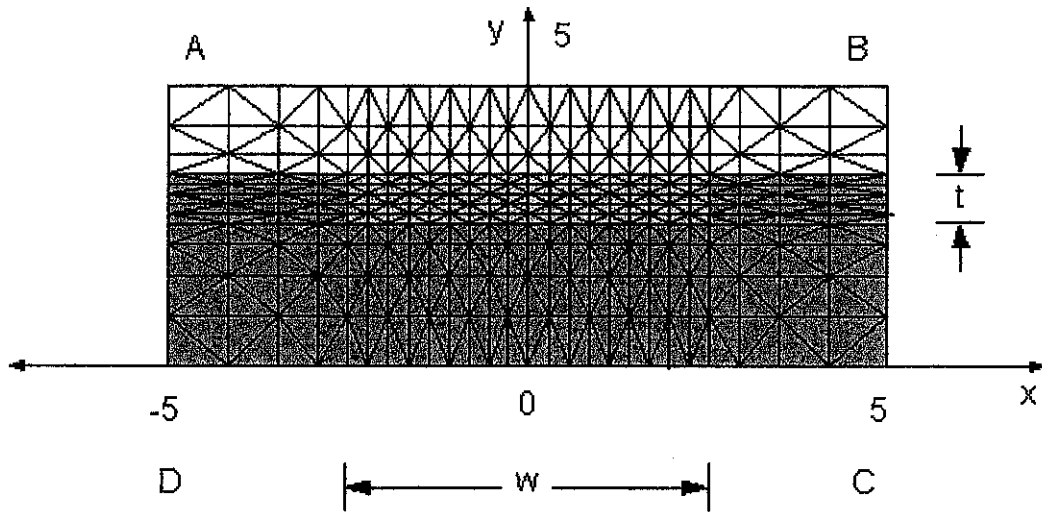


รูป 4.5 ภาคตัดขวางท่อนำแสงแบบฝังในฉัษสเตรท



รูป 4.6 การแบ่งอีลิเมนต์ภาคตัดขวางท่อนำคลื่นแบบที่ 1  
ออกเป็น 624 อีลิเมนต์ 351 โหนด





รูป 4.7 การแบ่งอีลีเมนต์ภาคตัดขวางท่อนำคลื่นแบบที่ 2  
ออกเป็น 624 อีลีเมนต์ 351 โหนด

กรณีที่ท่อนำแสงเป็นแอนไอโซทรอปิกแนวทแยง (Koshiha, 1992)

พิจารณาท่อนำแสงแบบฝังในชั้นสเตรทที่มีภาคตัดขวางดังแสดงในรูป 4.5 แกนและชั้นสเตรทของท่อนำคลื่นนี้เป็นแอนไอโซทรอปิกเอกาทิฟูนิแอกเซียล (negative uniaxial anisotropic) ที่แกนทางแสงขนานกับแกน x สภาพยอมสัมพัทธ์และความซาบซึมได้สัมพัทธ์ของแกนมีค่าดังนี้

$$[\epsilon_r] = \begin{bmatrix} 2.222^2 & 0 & 0 \\ 0 & 2.3129^2 & 0 \\ 0 & 0 & 2.3129^2 \end{bmatrix} \quad (4.11)$$

$$\mu_r = 1.0 \quad (4.12)$$

สภาพยอมสัมพัทธ์และความซาบซึมได้สัมพัทธ์ของชั้นสเตรทมีค่าดังนี้

$$[\epsilon_r] = \begin{bmatrix} 2.20^2 & 0 & 0 \\ 0 & 2.29^2 & 0 \\ 0 & 0 & 2.29^2 \end{bmatrix} \quad (4.13)$$

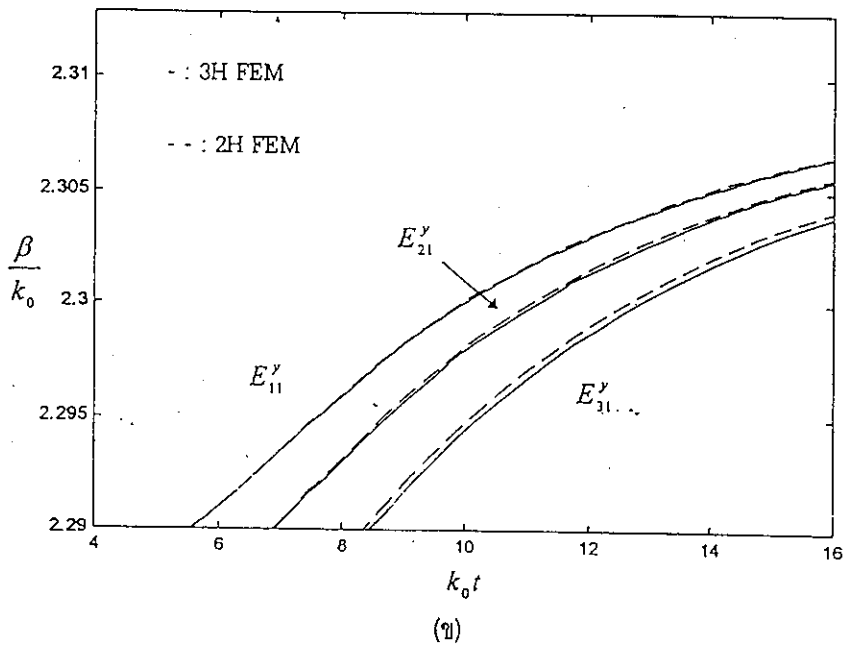
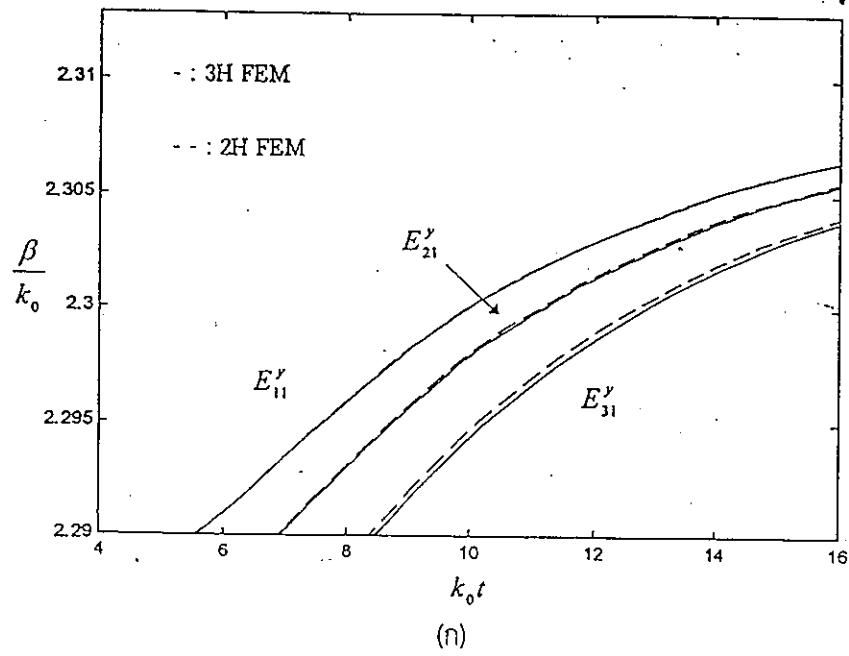
$$\mu_r = 1.0 \quad (4.14)$$

แบ่งภาคตัดขวางของท่อนนำคลื่นออกเป็นสามเหลี่ยม โดยมีจำนวนอิเล็กเมนต์เท่ากับ 624 มีจำนวน โหนดเท่ากับ 351 ดังแสดงใน 4.6 และ 4.7 ตามลำดับ โดยที่ขอบเขต AB,BC,CD และ DA คือขอบเขตเสมือน (virtual boundary) ซึ่งสมมุติให้เป็นตัวนำไฟฟ้าสมบูรณ์แบบ เพื่อไม่ให้มีผลเฉลยปลอมเทียม  $S_3$  และ  $S_4$  ในบริเวณที่ถูกนำทาง (guided region) ของกราฟดิสเพอร์ชัน สัมประสิทธิ์พินอลดีต้องสอดคล้องกับสมการ

$$p > 1/n_{g,\min} \quad (4.15)$$

เมื่อ  $n_{g,\min}$  คือดัชนีหักเหที่มีค่ามากที่สุดในชั้นสเตรท ด้วยเหตุนี้สัมประสิทธิ์พินอลดี ถูกกำหนดให้มีค่าเท่ากับ  $1/2.289$

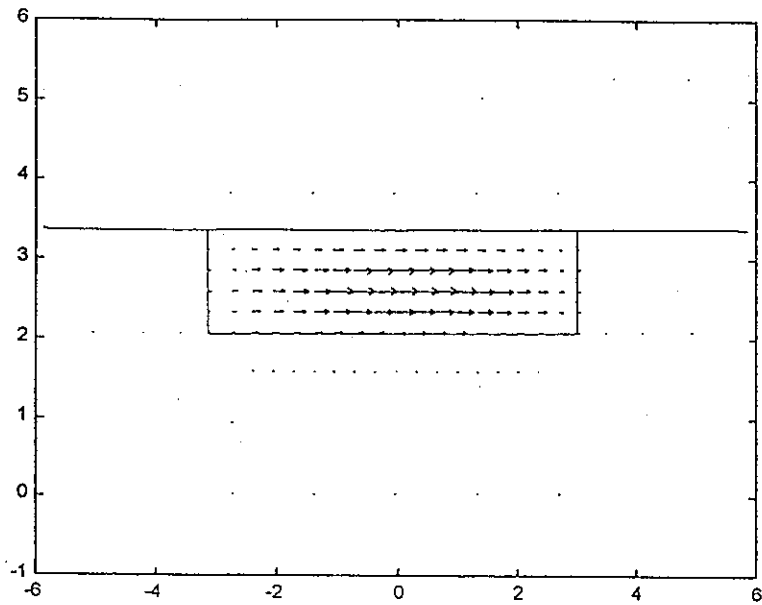
เนื่องจากท่อนนำแสงในกรณีนี้ ไม่สามารถหาผลเฉลยแม่นยำตรงจากวิธีวิเคราะห์ได้ จึงจำเป็นต้องตรวจสอบความถูกต้อง โดยเทียบผลคำนวณที่ได้กับผลคำนวณที่ได้จากวิธีอื่น ผลการคำนวณที่นำมาเปรียบเทียบคือ ผลการคำนวณที่ได้จากวิธีไฟไนต์อิเล็กเมนต์ที่ใช้สนามแม่เหล็กตามขวาง 2 องค์ประกอบ (Hayata, Eguchi และ Koshiba, 1986) รูป 4.8 (ก) และ (ข) แสดงผลการคำนวณกราฟดิสเพอร์ชันที่ได้จากวิธีไฟไนต์อิเล็กเมนต์เมื่อใช้การแบ่งอิเล็กเมนต์แบบที่ 1 ดังแสดงในรูป 4.15 และแบบที่ 2 ดังแสดงในรูป 4.16 ตามลำดับ เส้นที่บ่งแสดงผลการคำนวณที่ได้จากวิธีไฟไนต์อิเล็กเมนต์ที่ใช้สนามแม่เหล็ก 3 องค์ประกอบ เมื่อสัมประสิทธิ์พินอลดี ( $p$ ) เท่ากับ  $1/2.289$  (เพื่อความสะดวกได้กำหนดให้  $p = 1/2.289$ ) เส้นประแสดงผลการคำนวณที่ได้จากวิธีไฟไนต์อิเล็กเมนต์ที่ใช้สนามแม่เหล็กตามขวาง 2 องค์ประกอบ



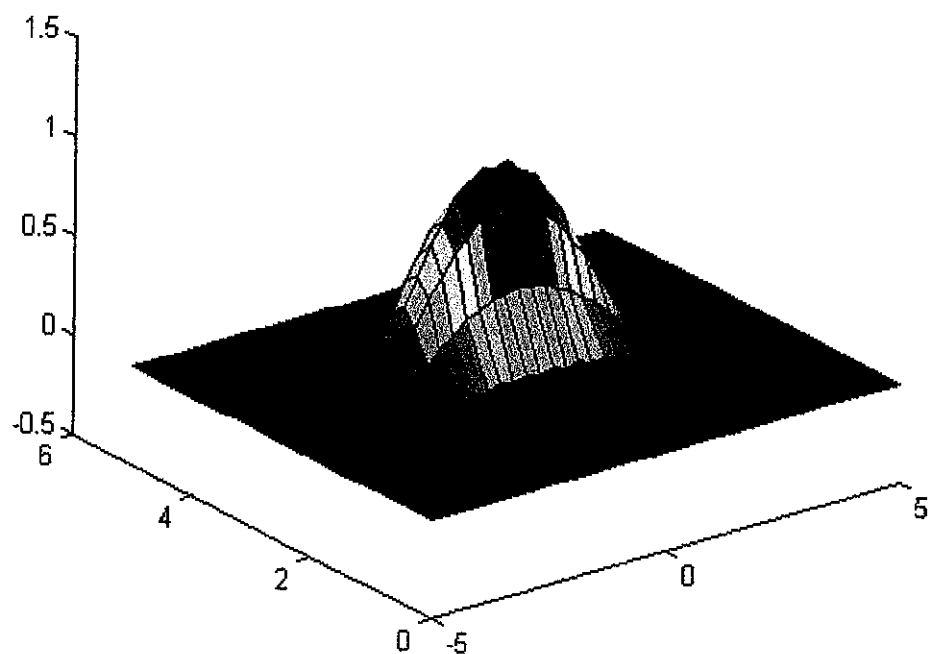
รูป 4.8 กราฟคิสเพอร์ชันที่ได้จากวิธีไฟไนต์อีลิเมนต์ที่ใช้สนามแม่เหล็ก 3 องค์ประกอบ เมื่อ  $p = 1/2.289$  และที่ได้จากวิธีไฟไนต์อีลิเมนต์ที่ใช้สนามแม่เหล็กตามขวาง 2 องค์ประกอบ ของท่อนำแสงแบบฝังในฉนวนที่มีแกนและฉนวนเป็นเนกาทีฟอินเดกซ์ เมื่อใช้  
 (ก) การแบ่งอีลิเมนต์แบบที่ 1 (ข) การแบ่งอีลิเมนต์แบบที่ 2

จากรูป 4.17 พบว่าโมด 3 อันดับแรกที่เลือกมาแสดงคือโมด  $E_{11}^y$ ,  $E_{21}^y$  และ  $E_{31}^y$  เมื่อ  $E_{pq}^y$  คือโมดที่มีองค์ประกอบของสนามแม่เหล็กไฟฟ้าหลักคือ  $E_y$  และ  $H_x$  คำนวณค่า (subscript)  $p$  และ  $q$  แทนอันดับ (order) ของโมด ทิศ  $x$  และ  $y$  ตามลำดับโดย  $p$  และ  $q$  มีค่าเท่ากับจำนวนจุดสูงสุดหรือต่ำสุด (extrema) ที่เกิดขึ้นในการกระจายขององค์ประกอบหลักในทิศ  $x$  และ  $y$  ตามลำดับ (Marcuse, 1974; Koshiha, 1992) จะเห็นได้ว่าโมด  $E_{11}^y$  และ  $E_{21}^y$  ที่ได้จากวิธีไฟในดัดอิมเม้นต์ที่ใช้สนามแม่เหล็ก 3 องค์ประกอบ และวิธีที่ใช้สนามแม่เหล็กตามขวาง 2 องค์ประกอบ ทั้งที่ได้จากการแบ่งอิมเม้นต์แบบที่ 1 และแบบที่ 2 ให้ผลเฉลยที่สอดคล้องกัน ส่วนผลการคำนวณที่ได้ในโมด  $E_{31}^y$  ต่างกันไม่มากนัก แต่อย่างไรก็ตามโมด  $E_{31}^y$  ที่ได้จากทั้งสองวิธีนี้จะมีค่าสอดคล้องกันมากขึ้น เมื่อใช้จำนวนอิมเม้นต์ที่สูงขึ้น จากรูป 4.17 พบว่าไม่มีการปรากฏของผลเฉลยปลอมเทียม เนื่องจากได้จำกัดให้ผลเฉลยปลอมเทียมเกิดขึ้นในช่วง  $\beta/k_0 < 2.289$  ซึ่งบริเวณนี้เป็นบริเวณแผ่พลังงาน (radiation region)

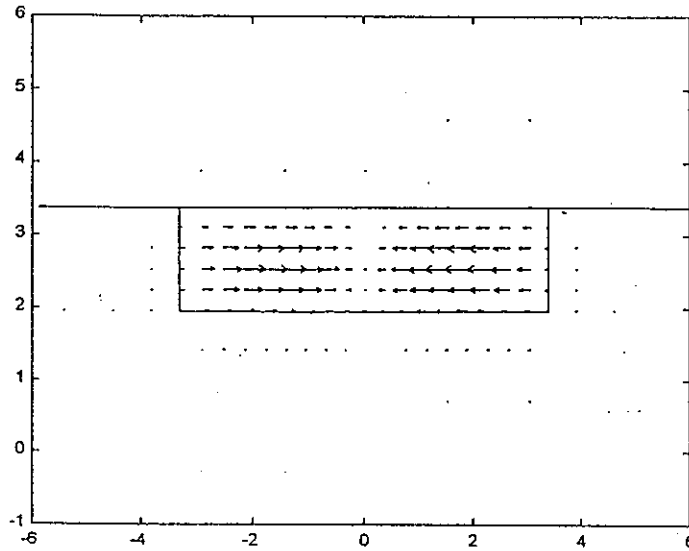
รูป 4.18 และ 4.19 แสดงแบบรูปของสนามแม่เหล็ก  $H$  และการกระจายของ  $H_x$  ในลักษณะ 3 มิติตามลำดับที่  $k_0 t = 16.0$  ในโมด  $E_{11}^y$ ,  $E_{21}^y$  และ  $E_{31}^y$  โดยกำหนดให้ขนาดสูงสุดของสนามแม่เหล็กที่โน้มนานภาคตัดขวางของท่อนำคลื่นมีค่าเท่ากับ 1



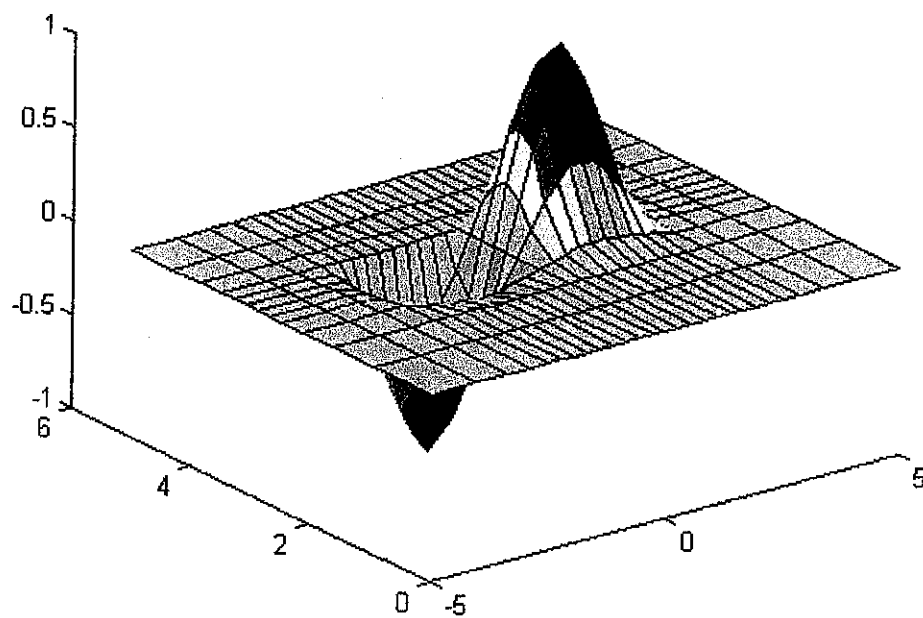
รูป 4.9 แบบรูปของสนามแม่เหล็กที่  $k_0 t = 16.0$  ใน โมด  $E_{11}^x$  คำนวณจาก  
วิธีไฟไนต์อีลีเมนต์ที่ใช้สนามแม่เหล็ก 3 องค์ประกอบ เมื่อ  $p = 1/2.289$  ของท่อนำแสง  
แบบฝังในฉนวนที่มีแกนและฉนวนเป็นเนกาทีฟยูนิแอกเซียลโดยใช้การแบ่งอีลี  
เมนต์แบบที่ 1



รูป 4.10 แบบรูป 3 มิติของสนามแม่เหล็กที่  $k_0 t = 16.0$  ใน โมด  $E_{11}^y$  คำนวณจากวิธีไฟไนต์ อีลีเมนต์ที่ใช้สนามแม่เหล็ก 3 องค์ประกอบ เมื่อ  $p = 1/2.289$  ของท่อนำแสงแบบฝังใน ชั้นสเตรทที่มีแกนและชั้นสเตรทเป็นเนกาทีฟยูนิแอกเซียล โดยใช้การแบ่งอีลีเมนต์แบบที่ 1

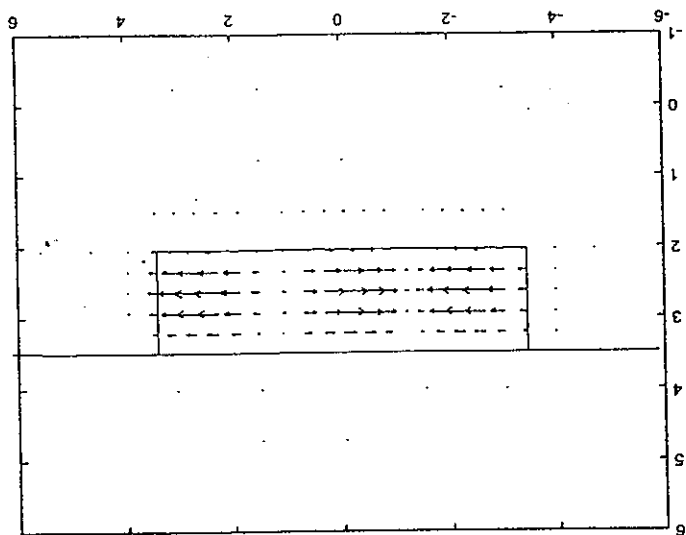


รูป 4.11 แบบรูปของสนามแม่เหล็กที่  $k_0 t = 16.0$  ใน โมด  $E_{21}^x$  ที่คำนวณจากวิธีไฟไนต์อีลีเมนต์ที่ใช้สนามแม่เหล็ก 3 องค์ประกอบ เมื่อ  $p = 1/2.289$  ของท่อนำแสงแบบคี่ในชั้นสเตรทที่มีแกนและชั้นสเตรทเป็นเนกาทีฟยูนิแอกเซียลโดยใช้การแบ่งอีลีเมนต์แบบที่ 1

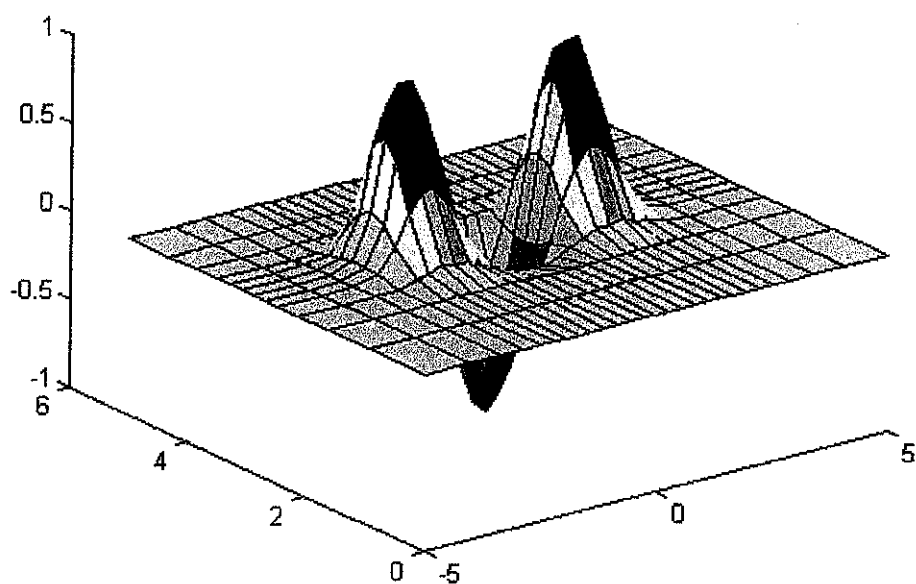


รูป 4.12 แบบรูป 3 มิติของสนามแม่เหล็กที่  $k_0 t = 16.0$  ใน โหมด  $E_{21}^y$  ที่คำนวณจากวิธีไฟไนต์อีลิเมนต์ที่ใช้สนามแม่เหล็ก 3 องค์ประกอบ เมื่อ  $p = 1/2.289$  ของท่อนำแสงแบบฝังในชั้นสเตรทที่มีแกนและชั้นสเตรทเป็นเนกาทีฟยูนิแอกเซียลโดยใช้การแบ่งอีลิเมนต์แบบที่ 1





รูป 4.13 แบบรูปของสนามแม่เหล็กที่  $k_0 t = 16.0$  ใน) โหมด  $E_{31}^Y$  ที่คำนวณจากวิธีไฟไนต์อีลิเมนต์ที่ใช้สนามแม่เหล็ก 3 องค์ประกอบ เมื่อ  $p = 1/2.289$  ของท่อนำแสงแบบฝังในชั้นสเตรทที่มีแกนและชั้นสเตรทเป็นเนกาทีฟยูนิแอกเซียลโดยใช้การแบ่งอีลิเมนต์แบบที่ 1



รูป 4.14 แบบ รูป 3 มิติของสนามแม่เหล็กที่  $k_0 t = 16.0$  ใน โมด  $E_{31}^y$  ที่ คำนวณจาก  
วิธีไฟไนต์อีลิเมนต์ที่ใช้สนามแม่เหล็ก 3 องค์ประกอบ เมื่อ  $p = 1/2.289$  ของท่อนำแสงแบบ  
ฝังในชั้นสเตรทที่มีแกนและชั้นสเตรทเป็นเนกาทีฟยูนิแอกเซียล โดยใช้อะไรแบบที่

1

$$\varepsilon_{xx} = n_e^2 \cos^2 \theta + n_o^2 \sin^2 \theta \quad (4.16a)$$

$$\varepsilon_{yy} = n_o^2 \cos^2 \theta + n_e^2 \sin^2 \theta \quad (4.16b)$$

$$\varepsilon_{zz} = n_o^2 \quad (4.16c)$$

$$\varepsilon_{xy} = \varepsilon_{yx} = (n_e^2 - n_o^2) \sin \theta \cos \theta \quad (4.16d)$$

$$n_o = 2.3129 \quad (4.16e)$$

$$n_e = 2.222 \quad (4.16f)$$

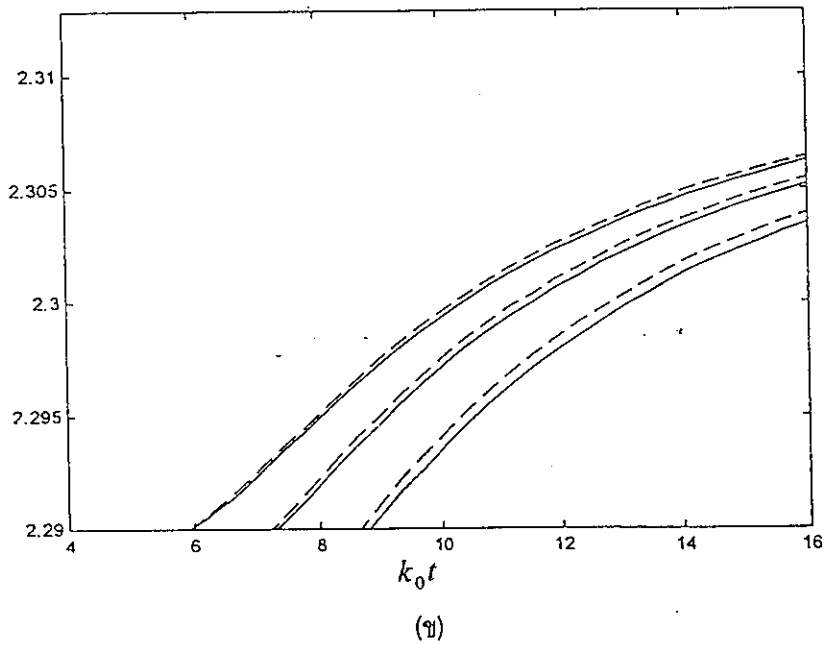
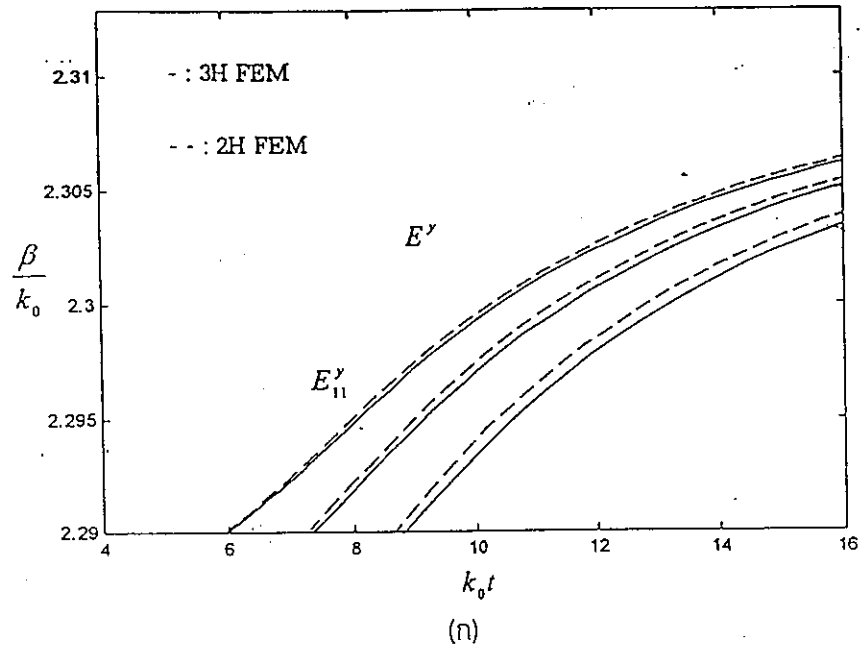
เมื่อ  $n$  คือดัชนีหักเห (refractive index),  $\theta$  คือมุมระหว่างแกนทางแสง  $x$  ในที่นี้กำหนดให้มีค่าเท่ากับ  $-\pi/8$  เรเดียน ชั้นเสตรทของท่อนำคลื่นนี้เป็นแอนไอโซทรอปิกเนกาทีฟยูนิแอกเซียลที่แกนทางแสงขนานกับแกน  $x$  สภาพยอมดัมพท์และความขุ่นได้ดัมพท์ของชั้นเสตรทคือ

$$[\varepsilon_r] = \begin{bmatrix} 2.20^2 & 0 & 0 \\ 0 & 2.29^2 & 0 \\ 0 & 0 & 2.29^2 \end{bmatrix} \quad (4.17)$$

$$\mu_r = 1.0 \quad (4.18)$$

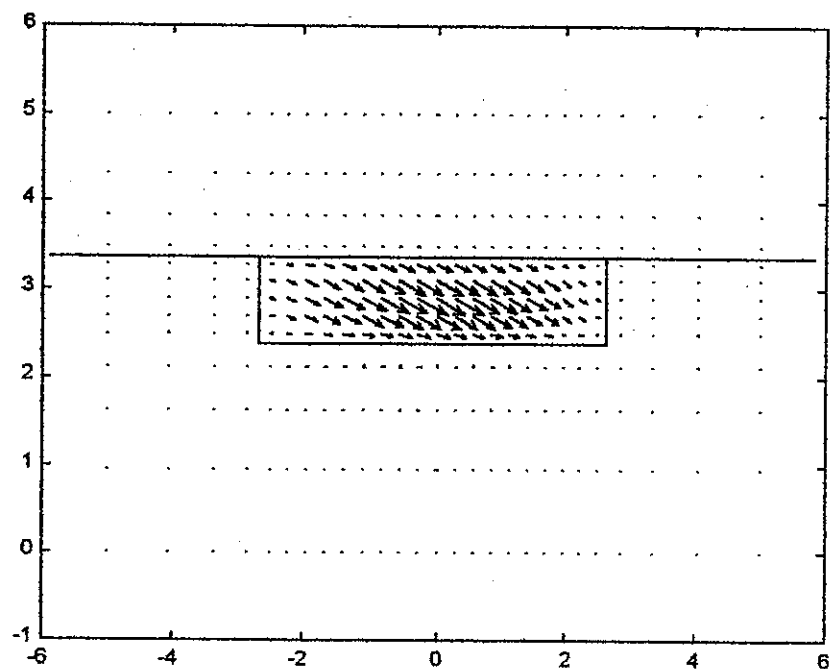
เช่นเดียวกับกรณีแรก ท่อนำแสงกรณีนี้ไม่สามารถหาผลเฉลยแม่นยำตรงจากวิธีเชิงวิเคราะห์ได้ จึงจำเป็นต้องตรวจสอบความถูกต้องโดยเทียบผลการคำนวณที่ได้จากวิธีอื่น ผลการคำนวณที่นำมาเปรียบเทียบคือ ผลการคำนวณที่ได้จากวิธีไฟไนต์อีลิเมนต์ที่ใช้สนามแม่เหล็กตามขวาง 2 องค์ประกอบ (Hayata, Eguchi และ Koshiba, 1986) รูป 4.15-4.21 แสดงกราฟคิสเปอร์ชันที่ได้จากวิธีไฟไนต์อีลิเมนต์เมื่อใช้การแบ่งอีลิเมนต์แบบที่ 1 ดังแสดงในรูป 4.5 และแบบที่ 2 ดังแสดงในรูป 4.6 ตามลำดับ เส้นที่บแสดงผลการคำนวณที่ได้จากวิธีไฟไนต์อีลิเมนต์ที่ใช้สนามแม่เหล็ก 3 องค์ประกอบ เมื่อสัมประสิทธิ์พินอลดี เท่ากับ  $1/2.289$  ( $p = 1/2.289$ ) เส้นประแสดงผลการคำนวณที่ได้จากวิธีไฟไนต์อีลิเมนต์ที่ใช้สนามแม่เหล็กตามขวาง 2 องค์ประกอบ

จากรูป 4.15 พบว่า โหมด 3 อันดับแรกที่เลือกมาแสดงคือ โหมด  $E_{11}^y$ ,  $E_{21}^y$  และ  $E_{31}^y$  จะเห็นได้ว่า โหมด  $E_{11}^y$  จากวิธีไฟไนต์อีลิเมนต์ที่ใช้สนามแม่เหล็ก 3 องค์ประกอบ และวิธีที่ใช้สนามแม่เหล็กตามขวาง 2 องค์ประกอบให้ผลเฉลยที่สอดคล้องกัน ส่วนผลการคำนวณในโหมด  $E_{21}^y$  และ  $E_{31}^y$  ยังไม่สอดคล้องกันมากนัก แต่อย่างไรก็ตาม โหมด  $E_{21}^y$ ,  $E_{31}^y$  ที่ได้จากสองวิธีนี้จะมีค่าสอดคล้อง

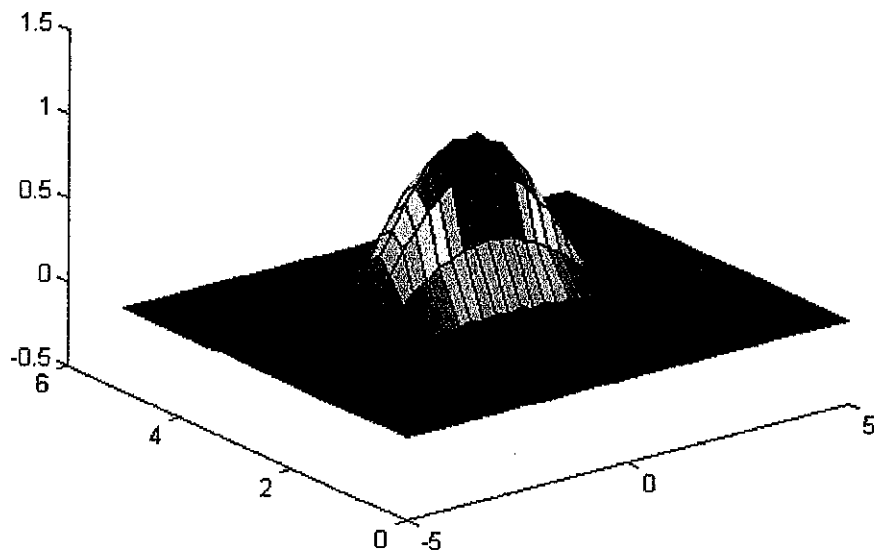


รูป 4.15 กราฟพลิตเซอร์ชันที่ได้จากวิธีไฟไนต์อีลิเมนต์ที่ใช้สนามแม่เหล็ก 3 องค์ประกอบ เมื่อ  $p = 1/2.289$  และที่ได้จากวิธีไฟไนต์อีลิเมนต์ที่ใช้สนามแม่เหล็กตามขวาง 2 องค์ประกอบ ของท่อนำแสงแบบฝังในฉนวนที่มีแกนแอนไอโซทรอปิกตามขวาง เมื่อใช้

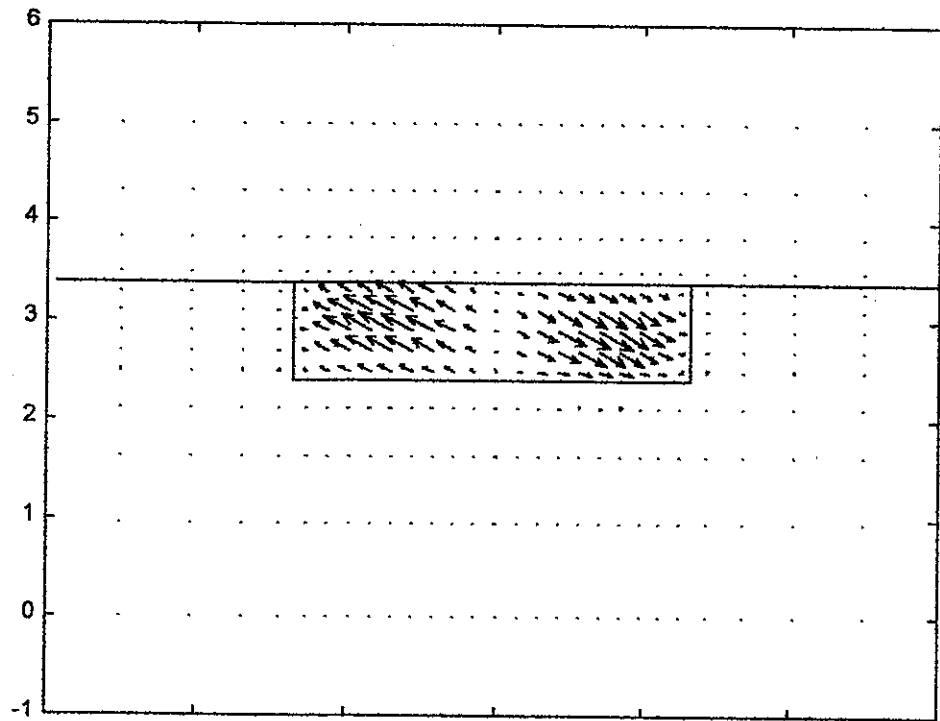
(ก) การแบ่งอีลิเมนต์แบบที่ 1 (ข) การแบ่งอีลิเมนต์แบบที่ 2



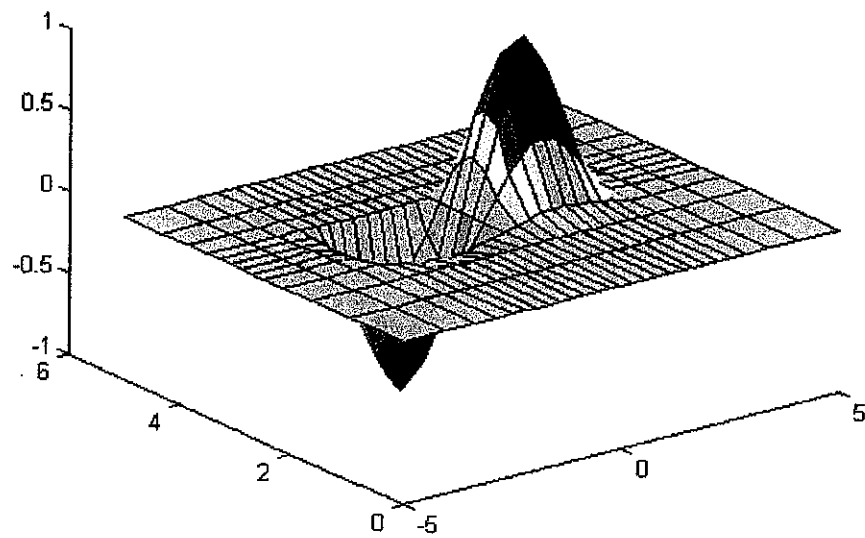
รูป 4.16 แบบรูปของสนามแม่เหล็กที่  $k_0 t = 16.0$  ใน โหมด  $E_{11}^x$  ที่ คำนวณจากวิธีไฟไนต์อีลิเมนต์ที่ใช้สนามแม่เหล็ก 3 องค์ประกอบ เมื่อ  $p = 1/2.289$  ของท่อนำแสงแบบฝังในฉนวนที่มีแกนเป็นแอนไอโซทรอปิกตามขวาง และฉนวนเป็นเนกาทีฟยูนิแอกเซียล โดยใช้การแบ่งอีลิเมนต์แบบที่ 2



รูป 4.17 แบบรูป 3 มิติของสนามแม่เหล็กที่  $k_0 t = 16.0$  ในโหมด  $E_{11}^y$  ที่คำนวณจากวิธีไฟไนต์อีลิเมนต์ที่ใช้สนามแม่เหล็ก 3 องค์ประกอบ เมื่อ  $p = 1/2.289$  ของท่อนำแสงแบบฝังในชั้นสเตรทที่มีแกนเป็นแอนไอโซทรอปิกตามขวาง และชั้นสเตรทเป็นเนกาทีฟยูนิแอกเซียล โดยใช้การแบ่งอีลิเมนต์แบบที่ 2

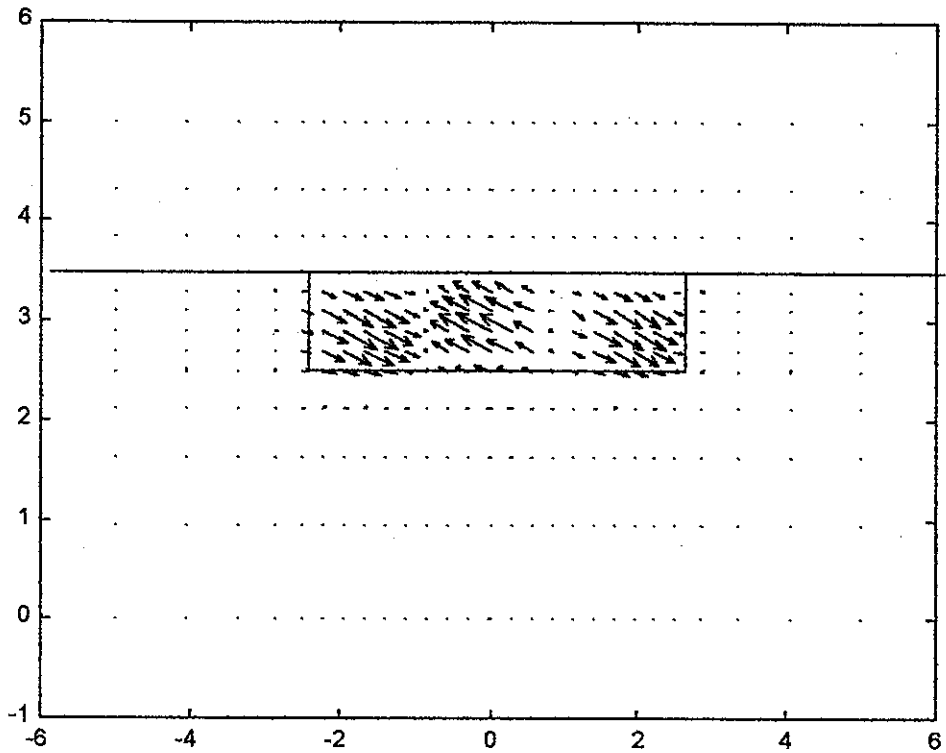


รูป 4.18 แบบรูป ของสนามแม่เหล็กที่  $k_0 t = 16.0$  ใน โมด  $E_{21}^*$  ที่ คำนวณจากวิธีไฟ  
 ในดออีลีเมนต์ที่ใช้สนามแม่เหล็ก 3 องค์ประกอบ เมื่อ  $p = 1/2.289$  ของท่อนำแสง  
 แบบฝังในฉัษเตรทที่มีแกนเป็นแอนไอโซทรอปิกตามขวาง และฉัษเตรทเป็นเนกา  
 ทิฟดูนิแอกเจีล โดยใ้การแบ่งอีลีเมนต์แบบที่ 2



รูป 4.19 แบบรูป 3 มิติของสนามแม่เหล็กที่  $k_0 t = 16.0$  ใน โมด  $E_{21}^y$  ที่ คำนวณจากวิธีไฟไนต์อีลีเมนต์ที่ใช้สนามแม่เหล็ก 3 องค์ประกอบ เมื่อ  $p = 1/2.289$  ของท่อนำแสงแบบฝังในชั้นสเตรทที่มีแกนเป็นแอนไอโซทรอปิกตามขวาง และชั้นสเตรทเป็นเนกาทีฟยูนิแอกเซียล โดยใช้ในการแบ่งอีลีเมนต์แบบที่ 2





รูป 4.20 แบบรูปของสนามแม่เหล็กที่  $k_0 t = 16.0$  ใน โมด  $E_{31}^y$  ที่ คำนวณจากวิธีไฟไนต์อีลิเมนต์ที่ใช้สนามแม่เหล็ก 3 องค์ประกอบ เมื่อ  $p = 1/2.289$  ของท่อนำแสงแบบฝังในฉนวนที่มีแกนเป็นแอนไอโซทรอปิกตามขวาง และฉนวนเป็นเนกาทีฟยูนิแอกเซียล โดยใช้การแบ่งอีลิเมนต์แบบที่ 2

ภาคผนวก ข

1. การได้มาซึ่ง  $\nabla$  ในรูปเมตริกซ์เราพิจารณาจากผลคูณคาร์ทีเซียน

$$\nabla \times \mathbf{H} = \left( \frac{\partial H_z}{\partial y} - \frac{\partial H_y}{\partial z} \right) \mathbf{a}_x + \left( \frac{\partial H_x}{\partial z} - \frac{\partial H_z}{\partial x} \right) \mathbf{a}_y + \left( \frac{\partial H_y}{\partial x} - \frac{\partial H_x}{\partial y} \right) \mathbf{a}_z \quad (\text{ข.1})$$

เมื่อพิจารณาทำให้ทราบว่า

$$\nabla \times \mathbf{H} = [\nabla][\mathbf{H}] = \begin{bmatrix} 0 & -\partial/\partial z & \partial/\partial y \\ \partial/\partial z & 0 & -\partial/\partial x \\ -\partial/\partial y & \partial/\partial x & 0 \end{bmatrix} \begin{Bmatrix} H_x \\ H_y \\ H_z \end{Bmatrix} \quad (\text{ข.2})$$

$$[\nabla] = \begin{bmatrix} 0 & -\partial/\partial z & \partial/\partial y \\ \partial/\partial z & 0 & -\partial/\partial x \\ -\partial/\partial y & \partial/\partial x & 0 \end{bmatrix} \quad (\text{ข.3})$$

2. คุณสมบัติของเวกเตอร์

$$\mathbf{a} \cdot (\mathbf{b} \times \mathbf{c}) = \mathbf{b} \cdot (\mathbf{c} \times \mathbf{a}) = \mathbf{c} \cdot (\mathbf{a} \times \mathbf{b}) \quad (\text{ข.4})$$

$$\mathbf{a} \times (\mathbf{b} \times \mathbf{c}) = (\mathbf{a} \cdot \mathbf{c})\mathbf{b} - (\mathbf{a} \cdot \mathbf{b})\mathbf{c} \quad (\text{ข.5})$$

$$\nabla(ab) = a\nabla b + b\nabla a \quad (\text{ข.6})$$

$$\nabla \cdot (ab) = a\nabla \cdot b + b \cdot \nabla a \quad (\text{ข.7})$$

$$\nabla \times (ab) = a\nabla \times b - b \times \nabla a \quad (\text{ข.8})$$

$$\nabla(a \cdot b) = a \times \nabla \times b + b \times \nabla \times a + (a \cdot \nabla)b + (b \cdot \nabla)a \quad (\text{ข.9})$$

$$\nabla \cdot (\mathbf{a} \times \mathbf{b}) = \mathbf{b} \cdot \nabla \times \mathbf{a} - \mathbf{a} \cdot \nabla \times \mathbf{b} \quad (\text{ข.10})$$

$$\nabla \times (\mathbf{a} \times \mathbf{b}) = \mathbf{a} \cdot \nabla \cdot \mathbf{b} - \mathbf{b} \cdot \nabla \cdot \mathbf{a} - (\mathbf{a} \cdot \nabla)\mathbf{b} + (\mathbf{b} \cdot \nabla)\mathbf{a} \quad (\text{ข.11})$$

$$\nabla \cdot (\nabla a) = \nabla^2 a \quad (\text{ข.12})$$

$$\nabla \times (\nabla \times \mathbf{a}) = \nabla(\nabla \cdot \mathbf{a}) - \nabla^2 \mathbf{a} \quad (\text{ข.13})$$

$$\nabla \times (\nabla a) = 0 \quad (\text{ข.14})$$

$$\nabla \cdot (\nabla \times a) = 0 \quad (\text{ข.15})$$

### หลักการอินทิกรัล

กฎของเกรดีเยนต(Gradient theorem)

$$\iiint_V \nabla f dV = \iint_S \hat{n} f dS \quad (\text{ข.16})$$

กฎของไดเวอร์เจนซ์(Divergence theorem)

$$\iiint_V \nabla \cdot f dV = \iint_S \hat{n} \cdot f dS \quad (\text{ข.17})$$

กฎของเคอร์(Curl theorem)

$$\iiint_V \nabla \times f dV = \iint_S \hat{n} \times f dS \quad (\text{ข.18})$$

กฎของเกรดีเยนต-คอส(Cross-Gradient theorem)

$$\iint_S \hat{n} \times \nabla f dS = \oint_C \hat{i} f dl \quad (\text{ข.19})$$

กฎของสโตกส์(Stokes theorem)

$$\iint_S \hat{n} \cdot \nabla \times f dS = \oint_C \hat{i} \cdot f dl \quad (\text{ข.20})$$

กฎของคอส-เดล-คอส (Cross-del-cross theorem)

$$\iint_S (\hat{n} \times \nabla) \times f dS = \oint_S \hat{i} \times f dl \quad (\text{ข.21})$$

กฎข้อที่ 1 สำหรับสเกลาร์ของ กรีนส์(First scalar Green's theorem)

$$\iiint_V [a \nabla \cdot (u \nabla b) + u (\nabla a) \cdot (\nabla b)] dV = \iint_S a u \frac{\partial}{\partial n} dS \quad (\text{ข.22})$$

กฎข้อที่ 2 สำหรับสเกลาร์ของ กรีนส์(Second scalar Green's theorem)

$$\iiint_V [a \nabla \cdot (u \nabla b) - b \nabla \cdot (u \nabla a)] dV = \iint_S u \left( a \frac{\partial b}{\partial n} - b \frac{\partial a}{\partial n} \right) dS \quad (\text{ข.23})$$

กฎข้อที่ 1 สำหรับเวกเตอร์ของ กรีนส์(First vector Green's theorem)

$$\iiint_V [u (\nabla \times a) \cdot (\nabla \times b) - a \cdot (\nabla \times u \nabla \times b)] dV = \iint_S u (a \times \nabla \times b) \cdot \hat{n} dS \quad (\text{ข.24})$$

กฎข้อที่ 2 สำหรับเวกเตอร์ของ กรีนส์(Second vector Green's theorem)

$$\iiint_V [b \cdot (\nabla \times u \nabla \times a) - a \cdot (\nabla \times u \nabla \times b)] dV = \iint_S u (a \times \nabla \times b - b \times \nabla \times a) \cdot \hat{n} dS \quad (\text{ข.25})$$

.....

## ภาคผนวก ค

ปัญหาค่าขอบเขตที่ปรากฏในสมการทางคณิตศาสตร์รูปแบบของค่าขอบเขตสามารถกำหนดได้โดยการบังคับสมการดิฟเฟอเรนเชียลในโดเมนโอเมกา ( $\Omega$ )

$$L\phi = f \quad (\text{ค.1})$$

วิธีของริตซ์ (The Ritz Method)

เป็นที่ทราบกันว่าวิธีของ เรเลย์ริตซ์ คือวิธีที่แปรผันตามปัญหาค่าขอบเขตจะได้รับการจัดรูปเป็นนิพจน์แปรผันโดยอ้างถึงฟังก์ชันนอล ซึ่งมีผลตอบสนองต่ำสุดโดยการบังคับสมการดิฟเฟอเรนเชียลภายใต้การให้เงื่อนไขขอบเขตโดยดำเนินการให้เรากำหนดผลคูณภายใน (inner product) โดยแสดงเป็นรูปปริกกาเหลี่ยม ( $\langle \cdot \rangle$ ) โดย

$$\langle \phi, \psi \rangle = \int_{\Omega} \phi \psi^* d\Omega \quad (\text{ค.2})$$

โดย

$$\langle L\phi, \phi \rangle = \langle \phi, L\phi \rangle \quad (\text{ค.3})$$

เครื่องหมายได้รับการกำหนดโดย

$$\langle L\phi, \phi \rangle \begin{cases} > 0 & \phi \neq 0 \\ = 0 & \phi = 0 \end{cases} \quad (\text{ค.4})$$

ฟังก์ชันของปัญหาที่มีการตอบสนองต่ำสุดเขียนได้เป็น

$$F(\tilde{\phi}) = \frac{1}{2} \langle L\tilde{\phi}, \tilde{\phi} \rangle - \frac{1}{2} \langle \tilde{\phi}, f \rangle - \frac{1}{2} \langle f, \tilde{\phi} \rangle \quad (\text{ค.5})$$

$\tilde{\phi}$  คือฟังก์ชันของค่าตอบทดลอง

$$\tilde{\phi} = \sum_{j=1}^N C_j V_j = \{C\}^T \{V\} = \{V\}^T \{C\} \quad (\text{ค.6})$$

T แสดงถึงการทรานสโพสท์เมตริกซ์

$C_j$  คือสัมประสิทธิ์ค่าคงที่ที่กำหนดขึ้น

$\phi_j$  คือฟังก์ชันที่ได้รับการเลือกมาในข้างต้นทั้งโดเมน  $\Omega$

เมื่อแทนสมการ (ค.5) ใน (ค.6) ได้ว่า

$$F = \frac{1}{2} \{C\}^T \int_{\Omega} \{V\} L \{V\}^T d\Omega \{C\} - \{C\}^T \int_{\Omega} \{V\} f d\Omega \quad (\text{ค.7})$$

ทำการ dif สมการ(ค.7) ได้ว่า

$$\begin{aligned} \frac{\partial F}{\partial C_i} &= \frac{1}{2} \int_{\Omega} v_i L \{v\}^T d\Omega \{C\} + \frac{1}{2} \{C\}^T \int_{\Omega} \{v\} L v_i d\Omega - \int_{\Omega} v_i f d\Omega \\ &= \frac{1}{2} \sum_{j=1}^N C_j \int_{\Omega} (v_i L v_j + v_j L v_i) d\Omega - \int_{\Omega} v_i f d\Omega \\ &= 0 \quad , \quad i=1,2,3,4,5,6,\dots,N \end{aligned} \quad (\text{ค.8})$$

ซึ่งสามารถเขียนในรูปเมตริกซ์ได้ดังนี้

$$[S] \{C\} = \{b\} \quad (\text{ค.9})$$

โดยในแต่ละอีลีเมนต์  $[S]$  สามารถแสดงได้โดย

$$S_{ij} = \frac{1}{2} \int_{\Omega} (v_i L v_j + v_j L v_i) d\Omega \quad (\text{ค.10})$$

โดยในแต่ละอีลีเมนต์ของ  $\{b\}$  สามารถแสดงได้โดย

$$b_i = \int_{\Omega} v_i f d\Omega \quad (\text{ค.11})$$

โดย  $[S]$  เป็นเมทริกซ์สามตา โดยนำมาซึ่งคุณสมบัติเชลแอทจอยต์ (self adjoint) ของตัว  
โอเปอเรเตอร์  $L$ ,  $S_{ij}$  สามารถเขียนได้เป็น

$$S_{ij} = \int_{\Omega} v_i L v_j d\Omega \quad (\text{ค.12})$$

ผลเฉลยโดยประมาณของสมการ (ค.1) ด้รับเมื่อแก้สมการเมตริกซ์(ค.9)นั่นเอง

---

ภาคผนวก ง

อินทิกรัลของฟังก์ชันรูปร่าง

อินทิกรัลของฟังก์ชันรูปร่างในอีลีเมนต์สามเหลี่ยมสามารถหาได้จากสมการต่อไปนี้

(Kardestuncer, 1988, Sivester และ ferrari, 1990)

$$I^e(l, m, n) = \iint_{\Omega} (L_1)^l (L_2)^m (L_3)^n dx dy \quad (3.1a)$$

$$= \frac{l!m!n!}{(l+m+n)!} 2A \quad (3.1b)$$

เมื่อ  $(L_1, L_2, L_3)$  คือฟังก์ชันเชิงเส้นที่สามารถหาได้จากสมการ

$$\begin{bmatrix} L_1 \\ L_2 \\ L_3 \end{bmatrix} = \frac{1}{2A} \begin{bmatrix} a_1 & b_1 & c_1 \\ a_2 & b_2 & c_2 \\ a_3 & b_3 & c_3 \end{bmatrix} \begin{bmatrix} 1 \\ x \\ y \end{bmatrix} \quad (3.2)$$

เมื่อ

$$a_k = x_l y_m - x_m y_l \quad (3.3)$$

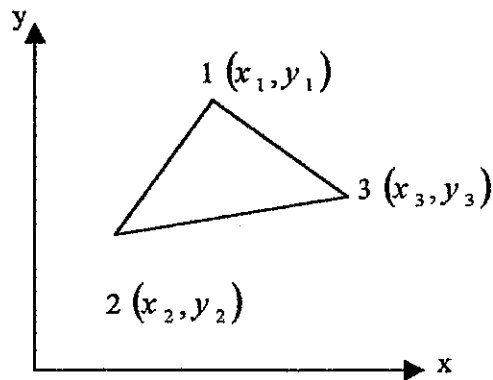
$$b_k = y_l - y_m \quad (3.4)$$

$$c_k = x_m - x_l \quad (3.5)$$

โดยที่  $(k, l, m)$  เรียงในลักษณะมอดุโล 3,  $(x_1, y_1)$ ,  $(x_2, y_2)$  และ  $(x_3, y_3)$  คือพิกัดของมุม 1, 2 และ 3 ของอีลีเมนต์สามเหลี่ยม ตามลำดับ ดังแสดงในรูป ฅ.1, A คือพื้นที่ของอีลีเมนต์รูปสามเหลี่ยมซึ่งหาได้จากสมการ

$$A = \frac{1}{2} \begin{bmatrix} 1 & x_1 & y_1 \\ 1 & x_2 & y_2 \\ 1 & x_3 & y_3 \end{bmatrix} \quad (3.6)$$

โดยที่ [ ] คือตัวกำหนด



รูป จ.1 อีลีเมนต์รูปสามเหลี่ยม และพิกัดโนด

สำหรับอีลีเมนต์อันดับที่หนึ่ง ดังแสดงในรูป จ.1 ฟังก์ชันรูปร่าง  $\{N\}$  คือ

$$\{N\} = [L_1 \quad L_2 \quad L_3] \quad (จ.7)$$

ผลอินทิกรัลของฟังก์ชันรูปร่างสำหรับแต่ละอีลีเมนต์ในวิธีไฟไนต์อีลีเมนต์ที่ใช้สนามแม่เหล็ก 3 องค์ประกอบ วิธีไฟไนต์อีลีเมนต์ที่ใช้สนามไฟฟ้า 3 องค์ประกอบ วิธีไฟไนต์อีลีเมนต์ที่ใช้แม่เหล็กสนามตามขวาง 2 องค์ประกอบ และวิธีไฟไนต์อีลีเมนต์ที่ใช้สนามไฟฟ้าตามขวาง 2 องค์ประกอบ และวิธีไฟไนต์อีลีเมนต์ที่ใช้สนามไฟฟ้าในแนวสัมผัสและในแนวแกน มีดังนี้

$$\left[ \iint_e \{N\} \{N\}^T dx dy \right]_{ij} = \begin{cases} \frac{A}{6}, i = j \\ \frac{A}{12}, i \neq j \end{cases} \quad (จ.8)$$

$$\left[ \iint_e \{N\}_x \{N\}_x^T dx dy \right]_{ij} = \frac{1}{4A} b_i b_j \quad (จ.9)$$

$$\left[ \iint_e \{N\}_x \{N\}_y^T dx dy \right]_{ij} = \frac{1}{4A} b_i c_j \quad (จ.10)$$

$$\left[ \iint_e \{N\}_y \{N\}_y^T dx dy \right]_{ij} = \frac{1}{4A} c_i c_j \quad (จ.11)$$

$$\left[ \iint_e \{N\} \{N\}_x^T dx dy \right]_{ij} = \frac{b_j}{6} \quad (จ.12)$$



$$\left[ \iint_e \{N\} \{N\}_y^T dx dy \right]_j = \frac{c_j}{6} \quad (3.13)$$

$$\iint_e \{N\}_y \{N\}_x^T dx dy = \left[ \iint_e \{N\}_y \{N\}_y dx dy \right]^T \quad (3.14)$$

$$\iint_e \{N\}_x \{N\}^T dx dy = \left[ \iint_e \{N\} \{N\}_x^T dx dy \right]^T \quad (3.15)$$

$$\iint_e \{N\}_y \{N\}^T dx dy = \left[ \iint_e \{N\} \{N\}_y^T dx dy \right]^T \quad (3.16)$$

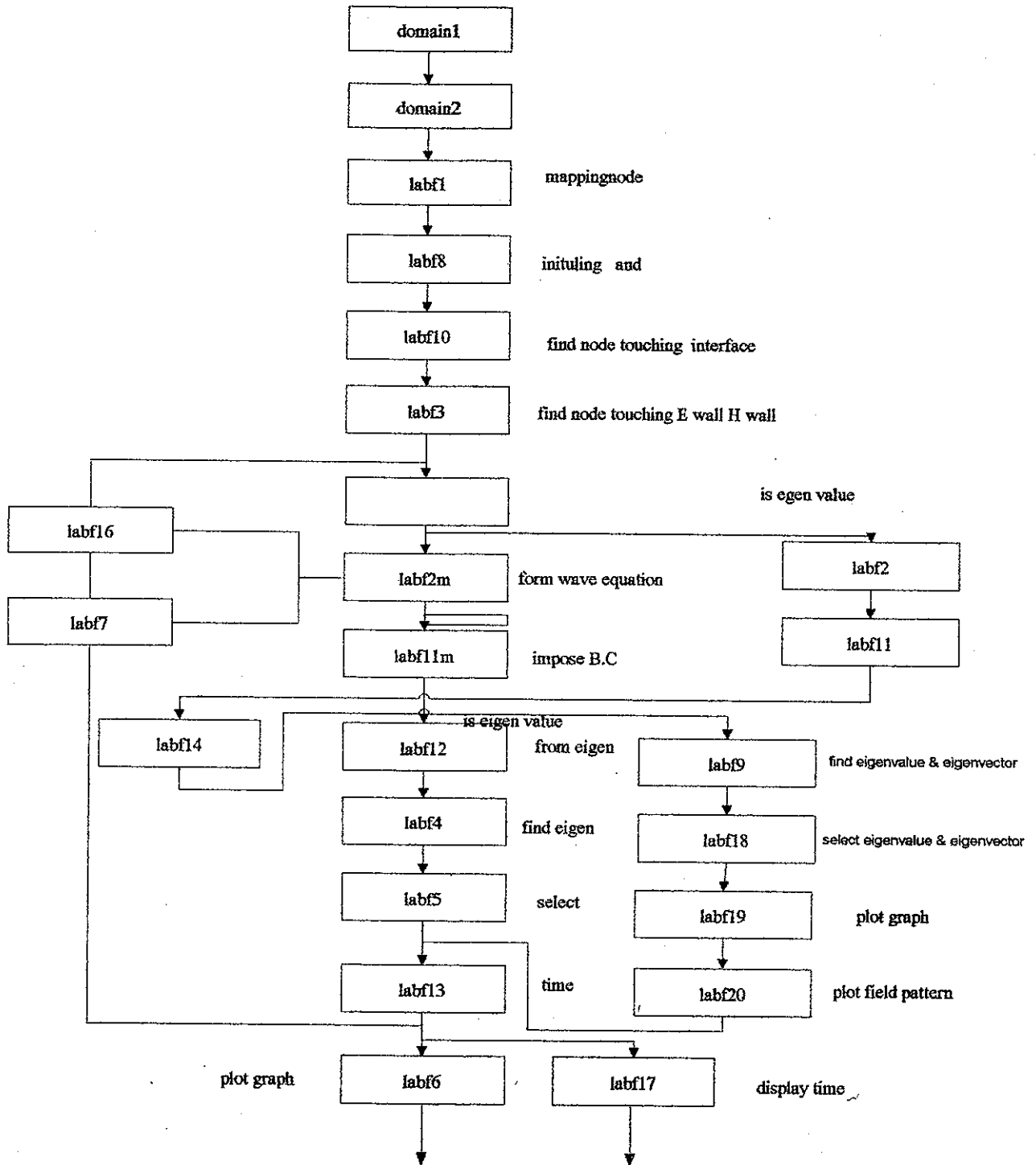
เมื่อ  $i = 1, 2, 3$  และ  $j = 1, 2, 3$

---

## ภาคผนวก จ

แผนผังการทำงานของ โปรแกรมวิเคราะห์ท่อนาคลิ้น  
การทำงานของ โปรแกรมที่ผู้ดำเนิน โครงการวิจัยได้ใช้เป็น โปรแกรมหลักในการ  
วิเคราะห์ท่อนาคลิ้นสามารถแสดงได้ดังต่อไปนี้

Flowchart of 3-H component for rectangular waveguide



```

%*****

%main program

%*****

runmod %call for runmode

if rmfg==1

    clc

    fprintf('\n\n')

    disp(' *****')

    disp(' *                               *')

    disp(' *   Vectorial Finite-element Method Without   *')

    disp(' *   Any Spurious Solutions for Electrically     *')

    disp(' *   and Magnetically Anisotropic Waveguiding Problems *')

    disp(' *   Using three Magnetic-Fields Component by     *')

    disp(' *   modified penalty method.                       *')

    disp(' *                               *')

    disp(' *****')

end

if rmfg==1

    while 1

        fprintf('\n\n')

        disp(' Do you wish to run program')

        disp(' 1. yes')

        disp(' 2. no')

        temp=input(' input your selection >> ');

        if (temp==2)|(temp==1),break,end

    end

else

    temp=1; %data for background mode

```

```
end

if temp==2,break,end

clear all
save dhdf.mat
save infor.mat

format short

runmod
tic
domain1
timed1=toc;

if (ehtnfg==1),break,end

if disfg==2 %non-dispersive media
tic
domain2 %call for permeability and permittivity
timed2=toc;
end

if disfg==2
if rmfg==1
while 1
fprintf('\n\n')
disp(' select your eigen value')
disp(' 1. k0 is eigen value')
disp(' 2. beta is eigen value')
```

```

k0fg=input(' input your selection >> ');
if (k0fg==1)|(k0fg==2),break,end
end
else
k0fg=1; %data for background mode
end
else
k0fg=2; %media is dispersive
end

if rmfg==1
while 1
fprintf('\n\n')
k0mn=input(' input the minimum value for k0 axis >> ');
k0mx=input(' input the maximum value for k0 axis >> ');
if (k0mn>=0)&(k0mn<k0mx),break,end
end
else
k0mn=4;
k0mx=16;
end

if (mhtnfg==1)
if rmfg==1
while 1
fprintf('\n\n')
disp(' select your range for beta/k0 axis')
disp(' 1. automatic adapt range')
disp(' 2. custom adapt range')
lifg=input('input your selection >> ');

```

```
if fufg==1
    labf48
else
    labf28 %initualize permeability and epsilon
end

end

if fufg==1
    labf43
else
    labf23 %find node touching E wall and H wall
end

end

for loop98=1:inl
    loop99=1;

    while (loop99<=temp99(loop98))
        temp98=(loop99-1)*istep(loop98)+min(loop98);
        acomp=(temp95(loop98)+loop99)*100/temp96;

        if cwfg==2 %rectangular waveguide

            if (span==1)
                if disfg==1 %dispersive
                    tic
                    domain2
```

```
    timed2=toc;
    labf8 %initialize permeability and permittivity to each element
    labf10 %find node touching interface
end
if k0fg==1
    labf2m %form wave and divergence matrix
else
    labf2
end
else
if disfg==1 %dispersive
    tic
    domain2
    timed2=toc;
    labf8 %initialize permeability and permittivity to each element
    labfa10 %find node touching interface
end
    labfa2 %second order
end

else %circular cross-section waveguide

if disfg==1
    tic
    domain2
    timed2=toc

if fufg==1
    labf48
else
```



```
labf28
end

end

if k0fg==1

if fufg==1
labf42m
else
labf22m
end

else
labf22
end

end %cwfg==2

if k0fg==1
labf11m %impose boundary condition
labf12 %form eigen matrix where k0 is eigenvalue
else
labf11
labf14
end

if ptnfg==1 %plot field pattern
labf9
labf18
labf19
```

```
labf20
else
labf4
labf5
end

if flag99==0 %record time
labf13
flag99=1;
end

loop99=loop99+1;
end

end

clear
save finish.mat
load infor.mat

if (qfg==1)
quit
end
```

## ประวัติผู้ทำโครงการ

### 1. Mr.Salakpetch Keatkeaw ID. 40362584

นาย สลักเพชร เกตุแก้ว

เกิดวันที่ 9 กันยายน 2519

117 ถนนคลองคะเชนทร์ ต.ในเมือง อ.เมือง จ. พิจิตร 66000

จบการศึกษาระดับประถมศึกษาจากโรงเรียนอนุบาลพิจิตร

จบการศึกษาระดับมัธยมศึกษาจากโรงเรียนพิจิตรพิทยาคม

ปัจจุบันกำลังศึกษาอยู่ในชั้นปีที่ 4 คณะวิศวกรรมศาสตร์ เอก ไฟฟ้า

มหาวิทยาลัยนเรศวร

### 2. Mr.Wichian Promtanod ID. 40362501

นาย วิเชียร พร้อมโตนด

เกิดวันที่ 16 พฤษภาคม 2521

104 หมู่ 8 ต.ชัยนาม อ. วังทอง จ.พิษณุโลก 65130

จบการศึกษาระดับประถมศึกษาจากโรงเรียนบ้านบึงพร้าว อ.วังทอง จ.พิษณุโลก

จบการศึกษาระดับมัธยมศึกษาตอนต้นจากโรงเรียนวังทองพิทยาคม จ.พิษณุโลก

จบการศึกษาระดับมัธยมศึกษาตอนปลายจากโรงเรียนพิษณุโลกพิทยาคม จ.พิษณุโลก

ปัจจุบันกำลังศึกษาอยู่ในชั้นปีที่ 4 คณะวิศวกรรมศาสตร์ เอก ไฟฟ้า

มหาวิทยาลัยนเรศวร

---